

200401330A

厚生労働科学研究研究費補助金

健康科学総合研究事業

溶存有機物(DOM)分画手法による水道水源としての
湖沼水質の評価およびモニタリング

平成 16 年度 総括研究報告書

主任研究者 今井 章雄

平成 17 年 (2005) 年 4 月

目 次

I.	統括研究報告 溶存有機物(DOM)分画手法による水道水源としての湖沼 水質の評価およびモニタリング	1
II.	研究成果の刊行に関する一覧表	40
III.	研究成果の刊行物・別刷	42

厚生労働科学研究費補助金（健康科学総合研究事業）

統括研究報告書

溶存有機物(DOM)分画手法による水道水源としての湖沼水質の評価およびモニタリング

主任研究者 今井 章雄 独立行政法人国立環境研究所

研究要旨

富栄養湖である霞ヶ浦6地点および主要流入4河川で毎月サンプルを採取し、溶存有機物(DOM)分画手法により、DOMおよび難分解性DOMを5つに分画し(フミン物質、疎水性中性物質、親水性酸、塩基物質、親水性中性物質)、DOM分画分布、DOMの特性、DOMや各分画成分の動態を評価した。さらにDOM、フミン物質および親水性画分(=親水性酸+塩基物質+親水性中性物質)のトリハロメタン生成能(THMFP)を測定した。さらに、霞ヶ浦を水源とする浄水処理場において各単位プロセス処理水を採取しDOM分画分布を調べた。

霞ヶ浦湖水と河川水とともにフミン物質と親水性酸が卓越していた。湖水では河川水よりも親水性酸の存在比が高かった。湖水DOMは河川水DOMに比べて非常に難分解性であった(平均分解率:湖水6.5%~17.9%,河川水28.8%~35.0%)。湖水と河川水ともに難分解性DOMとして有機酸画分(フミン酸+親水性酸)が卓越していた。湖水では親水性酸が最大存在比を示したが、河川水ではフミン物質と親水性酸の存在比がほぼ同じであった。従って、湖水では親水性酸、河川水ではフミン物質と親水性酸が代表的な難分解性DOM成分と言える。

霞ヶ浦5地点におけるDOM、フミン物質、親水性酸およびその難分解性画分の動態を評価した。DOM、フミン物質、親水性酸は顕著な季節変動を示し、夏季から秋季に上昇し冬季から春季にかけて減少するパターンが認められた。難分解性DOM、難分解性フミン物質、難分解性親水性酸は夏季から秋季にかけてその濃度が増大する傾向を示した。DOMの分解トレンドは親水性酸のそれと良好に一致していた。フミン物質は概ね年間を通して分解率が低く、そのトレンドはDOMとはあまり対応していなかった。湖水での難分解性DOMの挙動は、フミン物質よりも親水性酸によって規定されると示唆された。

霞ヶ浦湖水のDOM、フミン物質、親水性画分の分子量分布をサイズ排除クロマトグラフィーによって定量した。DOM、フミン物質、親水性画分の平均分子量(重量平均)は相当に小さく、各々694~804, 878~1000, 576~665 g·mol⁻¹であった。湖水DOMは分子量1000以下の低分子有機物質の集合体であると言える。

霞ヶ浦6地点において、湖水DOM、フミン物質、親水性画分のトリハロメタン生成能(STHMFP, μmol·mgC⁻¹)の平均値は、ほぼ同じ値を示した。河川が流入する地点ではフミン物質STHMFPのほうが大きく、その他の地点では親

水性画分の STHMFP が大きくなつた。DOM とフミン物質の STHMFP は夏季から秋季に欠けて増大したが、親水性画分 STHMFP は季節に関係なく漸増する傾向が認められた。DOM、フミン物質、親水性画分の STHMFP と平均分子量の関係は統計的に有意でなかつた。一方、紫外外部吸光度/DOC 比と STHMFP との間には有意な関係があり、特に親水性画分については採水地点全てで線形関係が有意であった。

河川水 DOM の STHMFP は湖水よりも低かった。河川水フミン物質 STHMFP は湖水よりも高かつたが、河川水親水性画分 STHMFP は湖水と同程度であつた。湖水とは異なり、4 河川ともフミン物質 STHMFP は親水性画分の STHMFP を上回つてゐた。

霞ヶ浦湖水および河川水とともに、存在濃度を考慮したトリハロメタン生成能(THMFP, $\mu\text{mol}\cdot\text{l}^{-1}$)については、親水性画分がフミン物質をはるかに上回つてゐた。従つて、霞ヶ浦湖水やその流入河川水では親水性画分のほうがフミン物質よりも重要なトリハロメタン前駆物質であると結論された。

A. 研究目的

今日、社会・産業活動の高度化に伴う水使用量の増加により、水道水源として河川自流水の占める割合が低下し、ダム・湖沼を水源とする割合が増えている。ダム・湖沼の水は必然的に植物プランクトン等に由来する有機物の影響を受けたものとなる。結果、有機物濃度の高い水道水源水をますます使用しなければならない。浄水過程の塩素殺菌処理プロセスにおいて、溶存有機物を前駆物質として、発ガン物質であるトリハロメタン等の消毒副生成物が產生されるることは良く知られている (Rook 1977; Tardiff 1977; Krasner et al. 1994)。従つて、今後、引き続き塩素処理を行う限り、トリハロメタン等の生成に伴う健康リスクは増大するわけである。

わが国において、トリハロメタン生成能に関する研究は1970年代から80年代初めに盛んに実施された。結果、湖沼・河川水中の主要なトリハロメタン前駆物質はフミン物質であると結論された (環境

庁 1994)。しかしながら、天然水中から溶存態のフミン物質を分離・抽出する手法が確立されたのは1980年代中頃である (Malcolm et al. 1989)。従つて、既存報告は全て“フミン物質が卓越している”という仮定の下になされたものと言える。このことは溶存有機物の組成は全く考慮されていなかつたことを意味する。このような状況では、水道水源としての湖沼水質の保全や浄水プロセスの最適化は極めて困難と判断される。早急に、湖水溶存有機物の組成を考慮した湖沼水質評価およびモニタリングを実施する必要がある。

本研究の目標は、幾つかの湖沼を対象として、湖水および流入河川水を採取し、溶存有機物 (DOM, dissolved organic matter) 分画手法による特性把握、DOM および各画分のトリハロメタン生成能測定および活性炭吸着能測定等により、湖の栄養状態の違い、季節変動や DOM 組成が水道水源としての湖沼水質に及ぼす影響を評価することである。

具体的な目的は以下の4つである：[1] 対象湖沼として富栄養湖の霞ヶ浦等を選択し、湖水および主要な流入河川水を採取し、ろ過後に易分解性-難分解性、疎水性-親水性、酸性-塩基性の違いに基づいたDOM分画手法によりDOM組成等(DOMおよび難分解性DOMにおけるフミン物質、疎水性中性物質、親水性酸、塩基物質、親水性中性物質の存在比、紫外部吸光度特性、分子量分布等)を明らかにして、DOM特性に関する湖水と河川水の違い、場所的および季節的な変動等を把握する；[2] 典型的な植物プランクトンを室内培養し培養後のろ液をDOM分画手法に供してそのDOM特性を把握する；[3] [1]と[2]で得られた各サンプルおよび各画分のトリハロメタン生成能を測定・評価する；[4]湖水DOM、フミン物質等の各画分の活性炭吸着能および凝集沈殿特性を評価する。

B. 研究方法

[サンプル採取] 霞ヶ浦湖水を湖内6地点で、毎月、2 meterのアクリル樹脂製カラムサンプラーで採取し、1 literのガラス瓶(テフロンライナー付き蓋を使用)に入れ、クーラーボックス中で氷冷状態のまま実験室に持ち帰った(図1)。水サンプルは熱処理した(450°C, 4 h)Whatman GF/Fフィルターでろ過した後、同様に熱処理したガラス瓶に3°Cで保存した。直ちに実験できない場合には、HClで洗浄したポリカーボネイト瓶に入れ-30°Cで凍結保存した。

河川水としては、霞ヶ浦に流入する主要4河川を対象とした(恋瀬川、桜川、

花室川、小野川)。河川水サンプルは霞ヶ浦からの湖水逆流の影響のない地点で毎月採取した(図1)。河川水サンプルはHClで洗浄したポリカーボネイト瓶に採取し、湖水の場合と同様に処理・保存を行った。

霞ヶ浦湖畔に位置し霞ヶ浦を水源とする霞ヶ浦浄水場において、生物処理槽、高速凝集沈殿池、急速ろ過池、粒状活性炭ろ過池で水サンプルを採取した(図1)。サンプルはHClで洗浄したポリカーボネイト瓶に採取し、湖水の場合と同様に処理・保存を行った。[DOM分画手法] 天然水中の溶存有機物(DOM, dissolved organic matter)は複雑で不均質な混合体であり、過去20年間、陸水および海水中でDOMの研究が行われてきたが、未だにその中味は良くわかっていない(Perdue and Gjessing 1990)。このような状況では、研究の第1歩はDOMの特性の把握にならざるを得ない。我々の採択した研究アプローチは、可能な限り明白な切り口でDOMをマクロ的に分画して、各画分の分布および特性を評価することであった。このマクロ分画の参照となる物質として溶存フミン物質(aquatic humic substances)を選択した。フミン物質は疎水性の有機酸で、天然水中のDOMの30%~80%を占める典型的な難分解性DOMである(Thurman 1985)。フミン物質は、土壤有機物、陸上・水生植物、プランクトン由来と言われ、湖水に流入する主要な外来性DOMと考えられる(Wetzel 1983)。湖水中のDOMを分画する場合に、分離・分画の基礎となる物質として適切と言える。

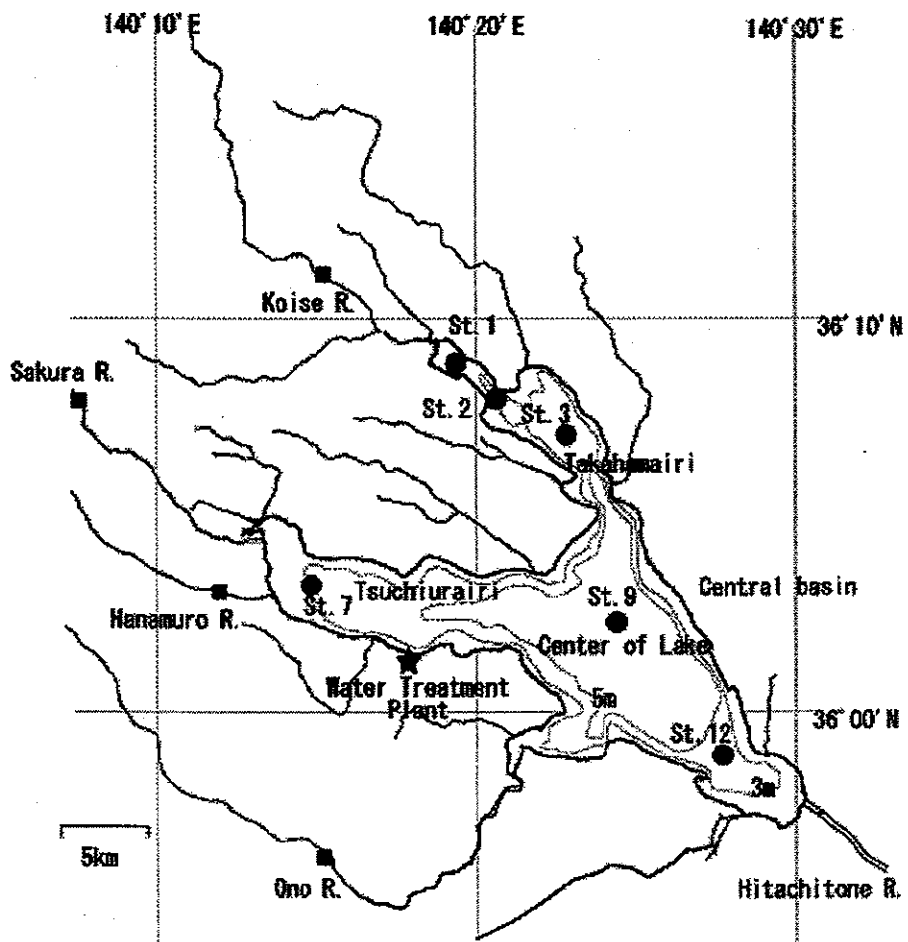


図 1 霞ヶ浦と流入河川におけるサンプル採取地点と霞ヶ浦浄水場の位置。

フミン物質は、難分解性で疎水性の有機酸である。すなわち、DOM 分画の切り口は、易分解性－難分解性、疎水性－親水性、酸性－塩基性となる。この三つの切り口を使い、フミン物質の分離に基礎を置く、DOM 分画手法を開発した。この分画手法は、長期間(100 日間)分解試験(易分解性－難分解性の違いによる分画)と樹

脂吸着分画手法(疎水性－親水性、酸性－塩基性の違いによる分画)からなる(図 2)。分画後に各画分の物理化学的特性(溶存有機炭素[DOC, dissolved organic carbon]濃度、紫外外部吸光度、分子量分布等)を測定することにより DOM の特性の評価を目指した。

長期間分解試験では、ろ過サンプルを

熱処理した（450°C, 4 時間）ガラス瓶に入れ、熱処理したアルミホイールで蓋をして、20°C, 暗所、約60 rpmで100日間振とうした。湖水以外のサンプルについては、サンプル量の約1%に相当するろ過湖水を植種として添加した。100日後での

サンプル容積の変化は認められなかった。長期間分解試験後に目視で明らかに沈殿物が生じた場合には、試験後に再びサンプルをろ過した。

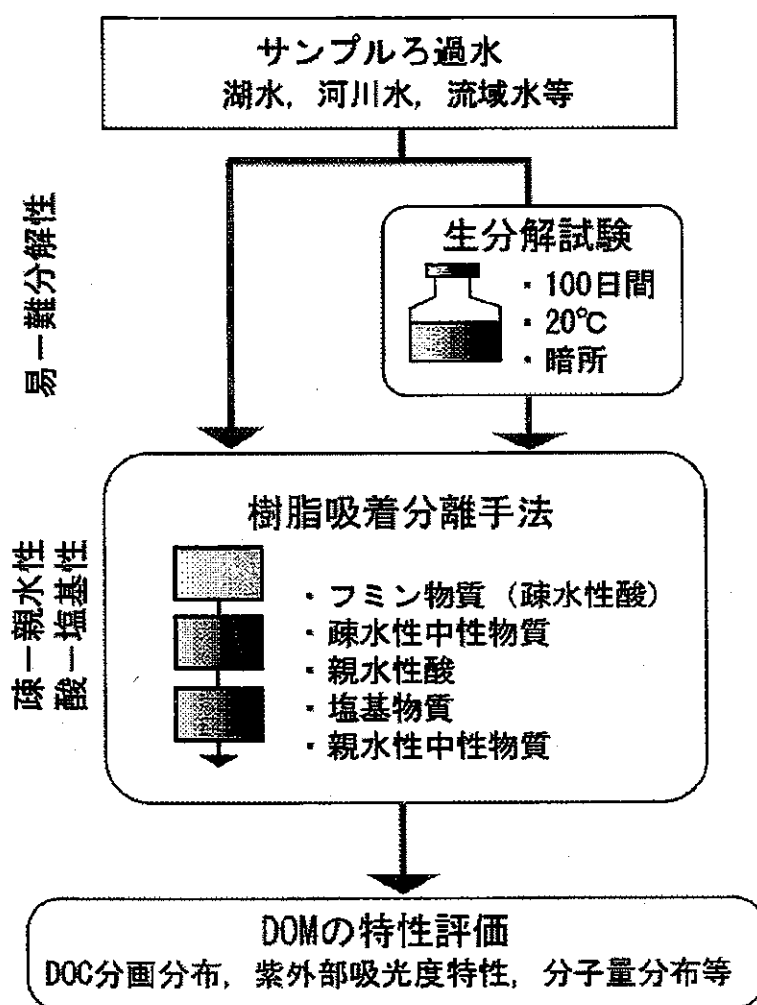


図2 溶存有機物(DOM) 分画手法の概要

樹脂吸着分画手法では、非イオン性マクロ網状アクリル樹脂(XAD-8)、強酸性マクロポーラス陽イオン交換樹脂(Bio-Rad AG-MP-50)、強塙基性マクロポーラス陰イオン交換樹脂(Bio-Rad AG-MP-1)用いて、DOMを5つに分画する：フミン物質、疎水性中性物質、親水性酸、塙基物質(=親水性塙基物質)、親水性中性物質(Leenheer 1981)。フミン物質は、カラム容量ファクター50の条件下XAD-8樹脂に50%吸着され0.1M NaOH溶液通水によって脱着されるものと定義される(Malcolm et al. 1989)。各分画に対応する有機化合物を表1に示す。

XAD-8樹脂はThurmanとMalcolmの方法に従って精製した(Thurman and Malcolm 1981)。3mlのXAD-8樹脂をガラスカラムに充填して、約200mlのMilli-Q水を洗净した後に、0.1M NaOH溶液次いで0.1M HCl溶液の順序で各々約10ml通水する操作を3回繰り返した。0.1M HCl溶液の最終通水の際にブランクサンプル(B1)を採取した。陽イオン交換樹脂と陰イオン交換樹脂は、まずメタノールで24時間ソックスレー抽出洗净した。陽イオン交換樹脂はMilli-Q水で洗净し、塙素イオン形で市販されている陰イオン交換樹脂は樹脂量の約10倍量の1M NaOHで水酸基イオン形に置換後、溶出水のpHが中性になるまでMilli-Q水で洗净した。次に、陽イオン交換樹脂6mlと陰イオン交換樹脂を12mlを各々ガラスカラムに充填し、陽イオン-陰イオン交換樹脂カラムの順序に連結し約1literのMilli-Q水を通水した。通水後、各々のカラムからブランクサンプルを採取した(B2, B3)。

樹脂吸着分離手法の手順を以下に示す(図3)：HClでpH2に調整したろ過サンプル約200mlをXAD-8樹脂カラムに約1ml·min⁻¹の流速で通水する；1-2ベッド容量の0.1M HClで樹脂カラムを洗净する；約3ベッド容量の0.1M NaOHを逆方向に0.5ml·min⁻¹以下の流速で通水し、溶出量を測定する；XAD-8樹脂カラム通過溶液を、陽イオン-陰イオン樹脂カラムに約1ml·min⁻¹の流速で通水し、約1-2ベッド容量を流出後に、陽イオン交換樹脂および陰イオン交換樹脂カラムの通過液を採取する。

樹脂吸着によるDOM分画実験は同一サンプルについて2回行った。分画終了後に、DOM1～5およびB1～B3のDOC濃度および紫外外部吸光度(260nm)を測定した。ろ液(DOM1)、フミン物質、親水性画分(DOM4)については、トリハロメタン生成能を測定した。

各々のDOM分画の濃度は以下のように算出した。

フミン物質(AHS)

$$= \text{DOM2} \times (\text{elutant volume}) / (\text{sample volume}) \quad (1)$$

疎水性中性物質(HoN)

$$= \text{DOM1} - \text{AHS} - (\text{DOM3} - \text{B1}) \quad (2)$$

塙基物質(BaS)

$$= (\text{DOM3} - \text{B1}) - (\text{DOM4} - \text{B2}) \quad (3)$$

親水性酸(HiA)

$$= (\text{DOM4} - \text{B2}) - (\text{DOM5} - \text{B3}) \quad (4)$$

親水性中性物質(HiN)

$$= \text{DOM5} - \text{B3} \quad (5)$$

表1 各DOM画分に対応する有機化合物

Fraction	Solute compound classes
hydrophobic acids (AHS)	aquatic humic substances (humic and fulvic acids)
hydrophobic neutrals (HoN)	hydrocarbons, pesticides, carbonyl compounds, LAS
hydrophilic acids (HiA)	sugar acids, fatty acids, hydroxy acids
bases (BaS)	aromatic amines, protein, amino acids, aminosugars
hydrophilic neutrals (HiN)	oligosaccharides, polysaccharides

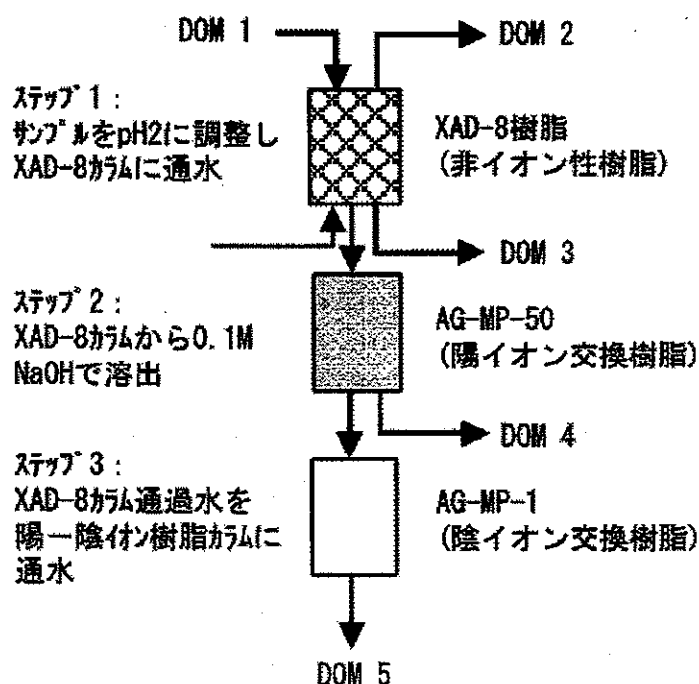


図3 樹脂吸着分画手法の概略図.

0.1M NaOH 通水による XAD-8 樹脂プランクの DOM 濃度 (DOC として) は $0.7 \text{ mgC} \cdot \text{l}^{-1}$ 以下であり、そのフミン物質への寄与は $0.03 \text{ mgC} \cdot \text{l}^{-1}$ 以下となった。このプランク DOM 濃度はフミン物質の濃度(DOM2)に比較して極めて低いため、フミン物質濃度算出の際には無視した。Milli-Q 水を HCl で pH 2 に調整した後、XAD-8 樹脂カラム、次に陽イオン樹脂+陰イオン樹脂カラムを通水させたところ、B2 ブランクの DOM 濃度は B1 ブランクの DOM 濃度以上になることはなかった。これは、陽イオン交換樹脂が XAD-8 樹脂から溶出するプランク DOM の大部分を除去したか、あるいは、陽イオン樹脂カラムからのプランク DOM が、XAD-8 樹脂カラム通過サンプルが陽イオン交換樹脂カラムを通過する際に、陽イオンカラムからの DOM の溶出が抑制されたことを意味する。結果として、XAD-8 樹脂からの DOM4 および DOM5 へのプランク DOM 寄与は無視されるものとみなした。

[トリハロメタン生成能測定] トリハロメタン生成能(trihalomethane formation potential, THMFP = $[\text{CHCl}_3] + [\text{CHCl}_2\text{Br}] + [\text{CHClBr}_2] + [\text{CHBr}_3]$, $\mu\text{mol THM} \cdot \text{mgC}^{-1}$) 測定においては、サンプル DOM 濃度の違いによる THMFP への影響を最小化するために、塩素処理の前にサンプルろ液(DOM)、フミン物質、親水性画分(=親水性酸+塩基物質+親水性中性物質)を Milli-Q 水で希釈して DOC 濃度が $1 \text{ mgC} \cdot \text{L}^{-1}$ になるように調整した。フミン物質サンプルとしては凍結乾燥したサンプルを Milli-Q に溶解した。親水性画分サンプルの pH は

2であるため、NaOH で約 pH 7 に調整した。

THMFP 測定は上水試験法 (JWSA 1993) に従って実施した。サンプルをリン酸緩衝液で pH 7 に調整した。20°C, 24 時間、暗所における塩素処理反応後に遊離塩素濃度が $1-2 \text{ mgCl} \cdot \text{l}^{-1}$ 残存するように二回蒸留処理した次亜塩素酸ナトリウム溶液をサンプルに添加した。遊離塩素濃度は o-トリジン法により測定した。塩素処理反応はヘッドスペースの無いガラス容器(42 ml あるいは 16 ml) で実施した。過剰な塩素は無水亜硫酸ナトリウムで除去した後、ヘッドスペース GC/MS(Hewlett Packard 6890/Hewlett Packard 5973)によりトリハロメタンを測定した。分析精度は概ね $\pm 2\%$ 以下であった。

[分子量分布測定] 溶存有機物(DOM)、フミン物質(AHS)、親水性画分(HiF)の分子量分布を、サイズ排除高速液体クロマトグラフィ(size exclusion HPLC)によって定量した。HPLC システム (Hitachi L-6200 ポンプ, Hitachi L-4000 UV detector, Hitachi D-2500 integrator, Rheodyne rotary injection valve) に Waters Protein-Pak 125 modified silica カラムを接続して、波長 260 nm, サンプルループ量 100 ml, 溶離液流量 $1 \text{ ml} \cdot \text{min}^{-1}$ の条件で実験した。溶離液は Milli-Q 水に適量の NaCl とリン酸緩衝液を添加して、イオン強度 0.1M, pH 6.8 に調整した。全排除溶出時間と全浸透溶出時間は、それぞれ blue dextran ($2 \times 10^3 \text{ K}$) と acetone (58.4) で決定した。分子量スタンダードとしては, sodium polystyrene

sulfonates (35, 18, 8, 5.4, 1.8 K dalton)を溶離液に溶かしたものを使用した。sodium polystyrene sulfonates は、イオン強度 0.1M, pH 6.8 の条件で、水環境中のフミン物質の大部分を占めるフルボ酸と同様な立体構造（ランダムコイル状）を有すると言われている(Chin et al, 1994)。分子量スタンダードによる較正曲線は溶出時間と分子量の片対数値の間に良好な線形関係を示した($R^2 > 0.99$)。

ろ過サンプル(DOM)は NaCl とリン酸緩衝液でイオン強度 0.1M, pH 6.8 に調整した。フミン物質サンプル(AHS)は陽イオン交換樹脂で脱塩し凍結乾燥した後に溶離液に溶かした。親水性画分サンプル(HiF)は NaCl とリン酸緩衝液を添加後に NaOH で pH を 6.8 に調整した。平均分子量測定の分析精度は概ね 3%以下であった。

[分析方法] 溶存有機炭素(DOC)濃度は、ろ液に 2M HCl を添加し pH を 2 に調整したサンプルにキャリアガス（純空気）を通気し無機炭素を除去した後、高感度白金触媒を搭載した Shimadzu TOC-5000 により測定した。分析精度は概ね 2%以下であった。紫外外部吸光度は、サンプルを pH 2 に長した後、波長 260 nm, 光路長 1 cm の石英セルで Shimazu UV-2500 UV/VIS 吸光度計により測定した。

クロロフィル a (Chl. a)濃度は、ろ過操作でろ紙上に集積された藻体を冷暗所、24 時間メタノール抽出処理した後に測定した (Marker et al. 1980)。

[倫理面への配慮] 本研究は人および実験動物を研究対象とはしない。従って、研究を遂行する上で、倫理面に関する諸問題は生起しないと判断される。

C. 研究結果

[湖水溶存有機物(DOM)の分画分布および DOM と各画分の動態]

霞ヶ浦 6 地点(Sts. 1, 2, 3, 7, 9, 12)での 2001 年～2002 年における DOM 分画分布の平均値を図 4 に表す。6 地点全てにおいて湖水中の DOM 成分（生分解試験前）としては有機酸、すなわちフミン物質（疎水性酸）と親水性酸が卓越していた（フミン物質 29.3%-31.7%，親水性酸 43.3%-45.8%）。この二つの画分が DOM の 70%以上を占めており、特に親水性酸の存在比が顕著に大きかった。疎水性中性物質の存在比は 9.6%-12.6%，塩基物質は 7.8%-11.0%，親水性中性物質は最も低く 3.8%-4.9% であった。DOM 濃度の平均値は、湖水の流れ方向に(St.1→St.2→St.3→St.9→St.12, St.7→St.9→St.12)に漸増する傾向を示した (St.1: 2.92, St.2: 2.99, St.3: 3.19, St.7: 2.92, St.9, 3.20, St.12: 3.21 mgC·l⁻¹)。しかし、平均値としての分画分布については、親水性酸が湖水の流れ方向に若干増大する傾向あったが、地点間での顕著な差は認められなかった。

霞ヶ浦 6 地点における DOM および各分画成分の 2001 年～2002 年にかけての動態を図 5 に表す。DOM 濃度は顕著な季節変化を示し、全ての採水地点で夏季から秋季に上昇し冬季から春季にかけて減少するパターンが認められた。

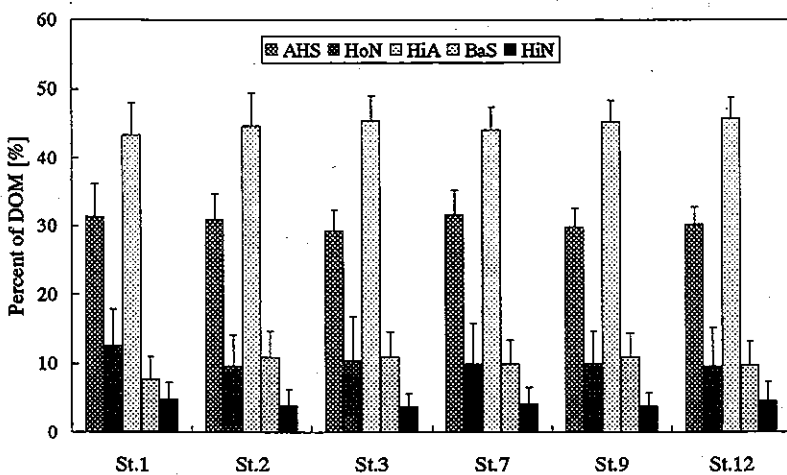


図4 霞ヶ浦湖水サンプルのDOM分画分布。AHS:フミン物質, HoN:疎水性中性物質, HiA:親水性酸, BaS:塩基物質, HiN:親水性中性物質。

季節変動の振幅は、河川流入ポイントに近く地点で比較的大きく(St.1, St.2, St.7), 湖盆(St.9, St.12)では小さくなる傾向があった。親水性酸やフミン物質の季節変動もDOMのそれに対応したものであった。親水性酸のほうがフミン物質よりもDOMの変動に良好に一致していた。

[河川水溶存有機物(DOM)の分画分布およびDOMと各画分の動態]

霞ヶ浦に流入する主要4河川(恋瀬川, 桜川, 花室川, 小野川)の2001年4月～2003年3月における河川水DOMの平均濃度は花室川で最も高く($2.62 \text{ mgC}\cdot\text{l}^{-1}$), 次いで小野川($2.19 \text{ mgC}\cdot\text{l}^{-1}$), 桜川(2.03

$\text{mgC}\cdot\text{l}^{-1}$), 恋瀬川($1.66 \text{ mgC}\cdot\text{l}^{-1}$)の順序で低下した。霞ヶ浦湖心のDOM濃度($3.20 \text{ mgC}\cdot\text{l}^{-1}$)に比較すると流入河川水のDOM濃度はかなり低いと判断できる。

当該調査期間におけるDOM分画分布の平均値を図6に示す。河川水のDOM分画分布(生分解試験前)は湖水と異なっていた。湖水と同様にフミン物質と親水性酸がDOMとして卓越したが, 湖水と比較して, フミン物質の割合が3% (4河川平均で32.9%)ほど高く, 一方親水性酸の割合は約5% (同上41.0%)低かった。疎水性中性物質や塩基物質の存在比は湖水とほぼ同じであったが, 親水性中性物質では約2%高かった。

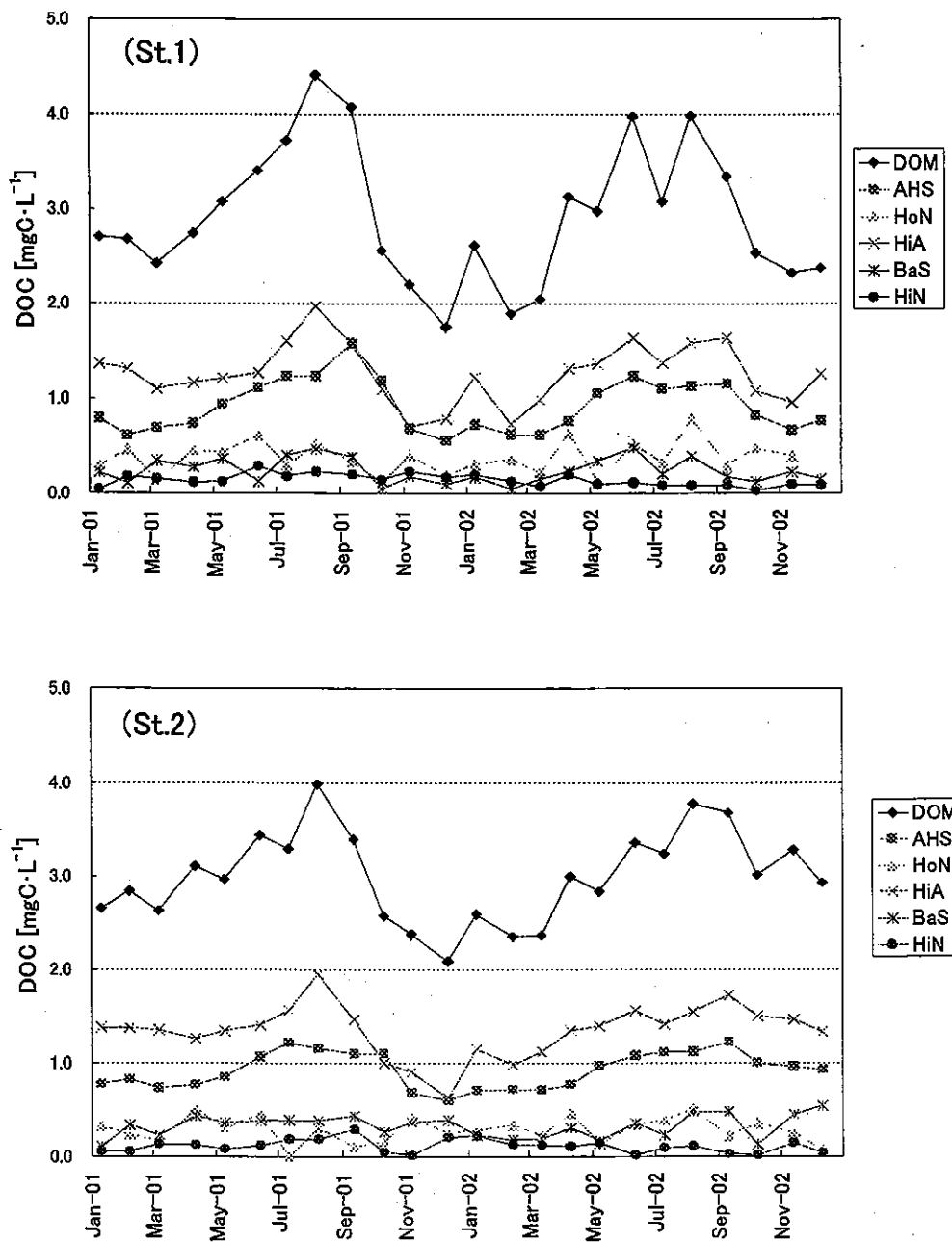


図 5(a) 震ヶ浦湖水における DOM および各画分の動態 (St.1 と St.2).
 AHS : フミン物質, HoN : 疎水性中性物質, HiA : 親水性酸, BaS : 塩基物質, HiN : 親水性中性物質.

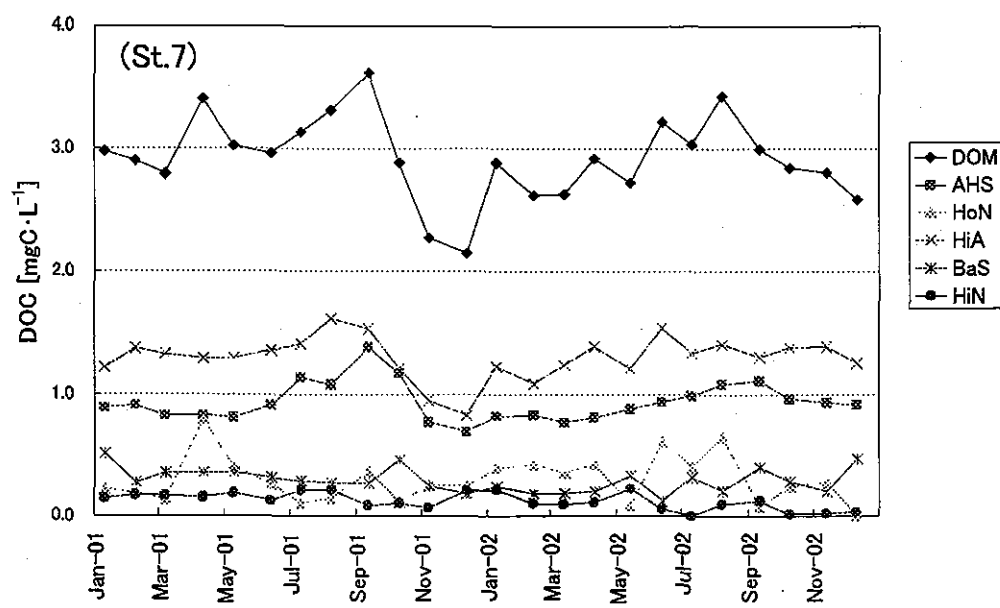
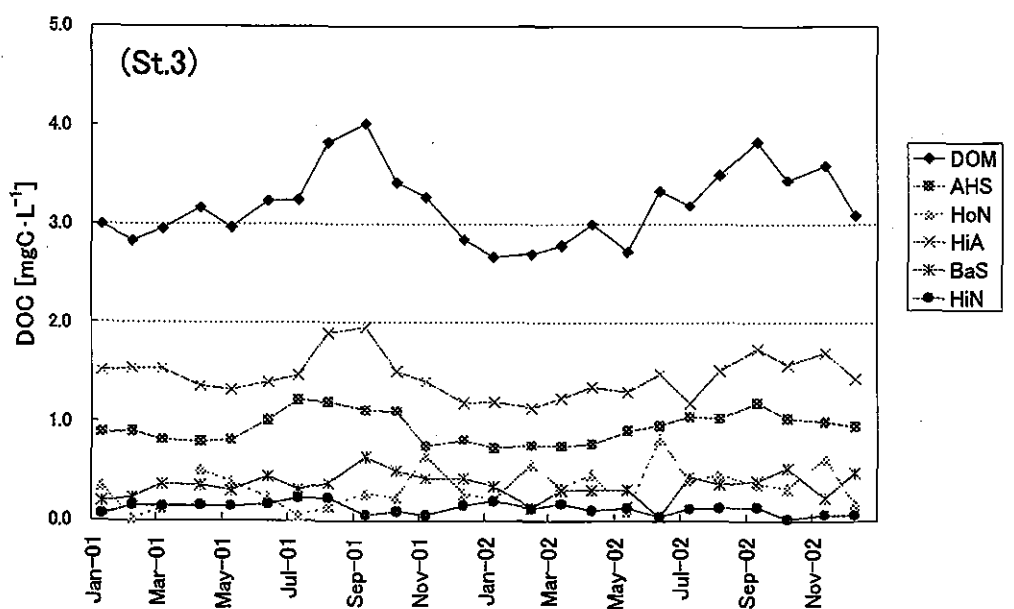


図 5(b) 霞ヶ浦湖水における DOM および各画分の動態 (St.3 と St.7).
AHS : フミン物質, HoN : 疎水性中性物質, HiA : 親水性酸, BaS : 塩基物質, HiN : 親水性中性物質.

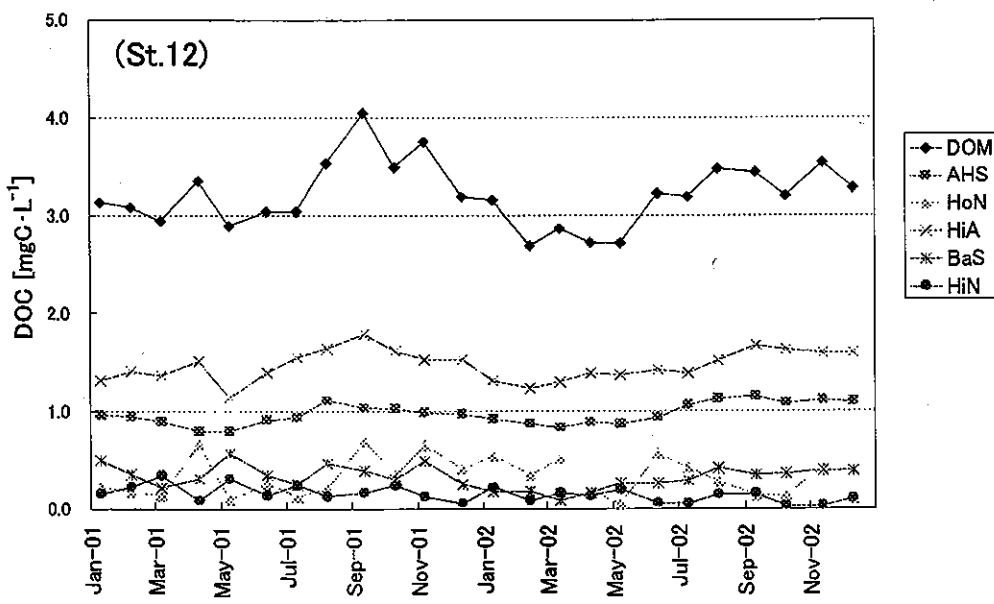
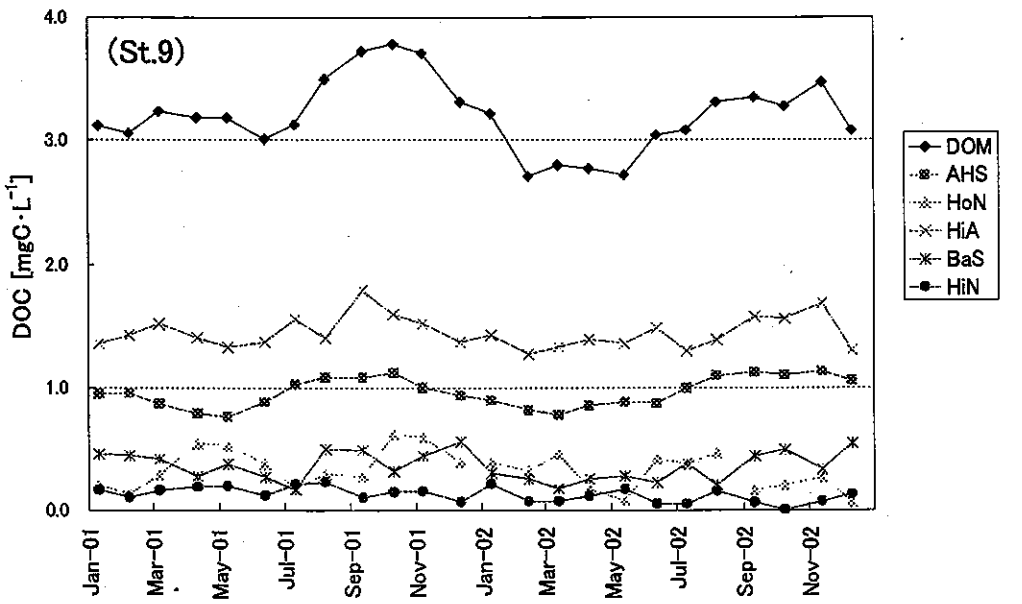


図 5(c) 霧ヶ浦湖水における DOM および各画分の動態 (St.9 と St.12).
 AHS : フミン物質, HoN : 疎水性中性物質, HiA : 親水性酸, BaS : 塩基物質, HiN : 親水性中性物質.

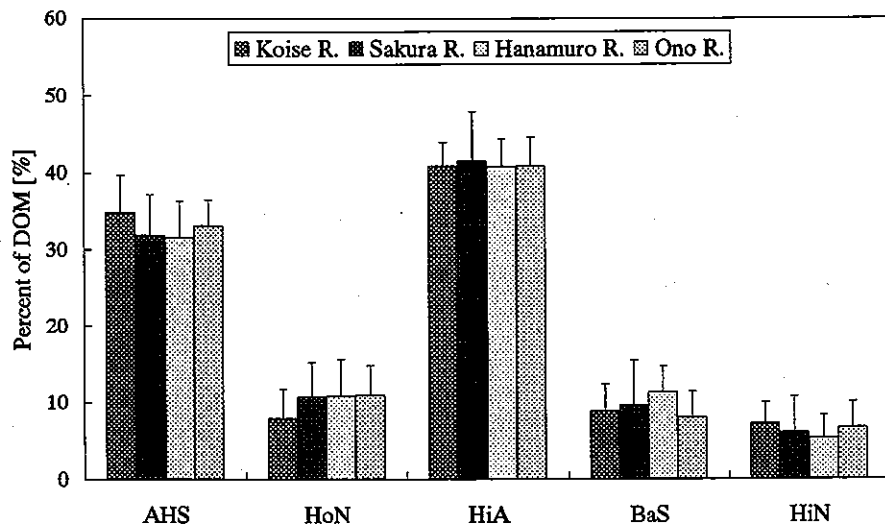


図 6 霞ヶ浦流入河川水の DOM 分画分布. AHS: フミン物質, HoN: 疎水性中性物質, HiA: 親水性酸, BaS: 塩基物質, HiN: 親水性中性物質.

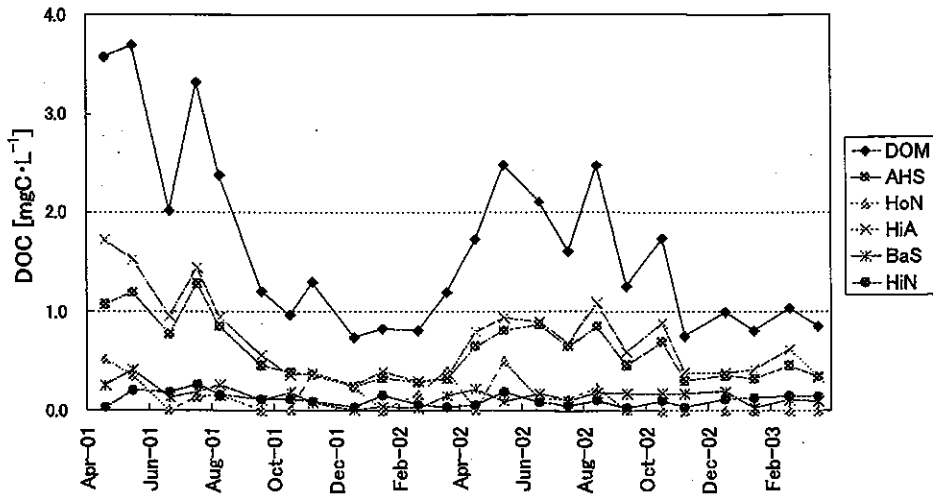
河川水 DOM およびその分画成分の動態 (2001 年 4 月～2003 年 3 月) を図 7 に表す。恋瀬川、桜川、小野川はほぼ同じ季節変動パターンを示した。春季から夏季に濃度が上昇し、その後、秋季から冬季にかけて急落する傾向が明白に認められた。花室川についても 2001 年度は同様な傾向があったが、2002 年度で 8 月に小さなピークは発現したが年度を通じて濃度変化はフラットであった。DOM 分画成分の季節変動は DOM 濃度に類似していた。湖水のケースとは異なり、フミン物質と親水性酸とともに、その変動は DOM の変動に良好に対応していた。

[湖水・河川水 DOM の分解性と難分解性

DOM 分画分布]

霞ヶ浦湖水と流入河川水の分解性を比較したところ、湖水は河川水に比べてとても難分解性であることが明らかとなつた(表 2)。湖水 DOM の平均分解率は 6.5% - 17.9% であり、流入河川水の平均分解率(28.8% - 35.0%)よりも顕著に低い値を示した。DOM 中の主要成分であるフミン物質と親水性酸についても、湖水のほうが河川水よりも分解性が低かった。湖水 DOM、フミン物質および親水性酸の分解率は潮流方向に(St.1 → St.3 → St.9 → St.12, St.7 → St.9 → St.12)に低下していった。河川水については河川別の差はそれほど著しくなかったが、最も汚濁している花室川での分解率が最大値を示した。

Koise River



Sakura River

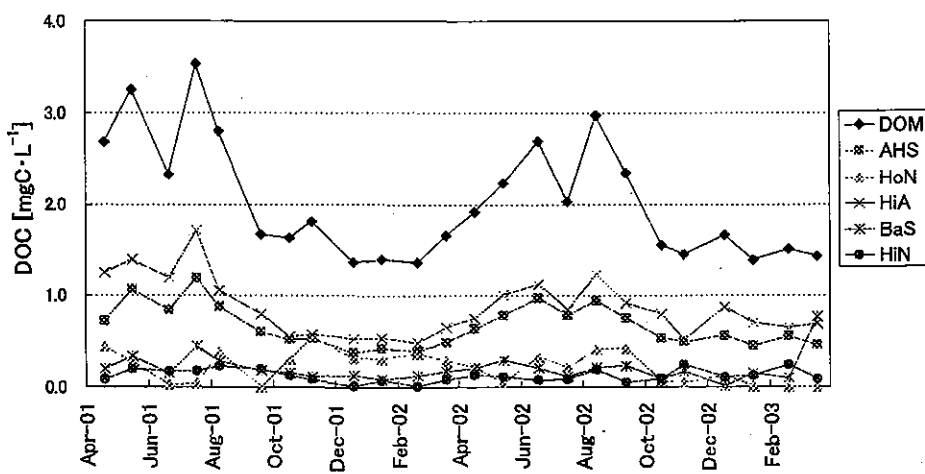
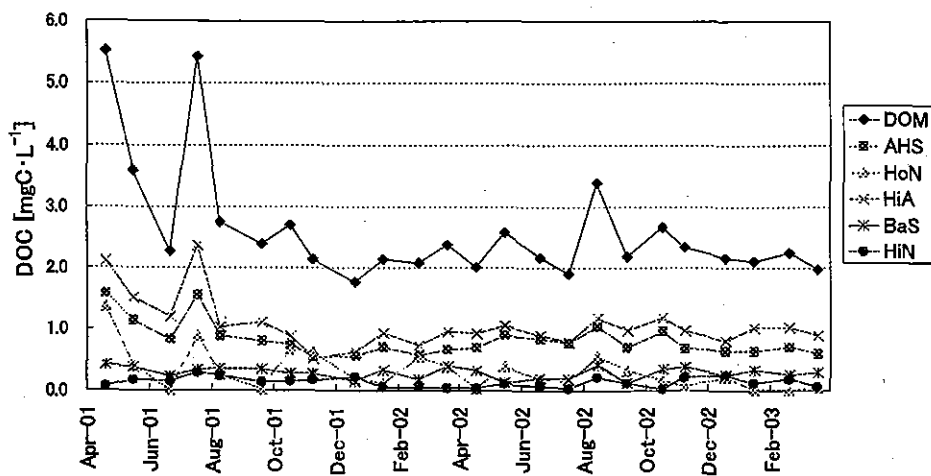


図 7(a) 震ヶ浦流入河川における DOM および各画分の動態 (恋瀬川と桜川).
 AHS : フミン物質, HoN : 疎水性中性物質, HiA : 親水性酸, BaS : 塩基物質, HiN : 親水性中性物質.

Hanamuro River



Ono River

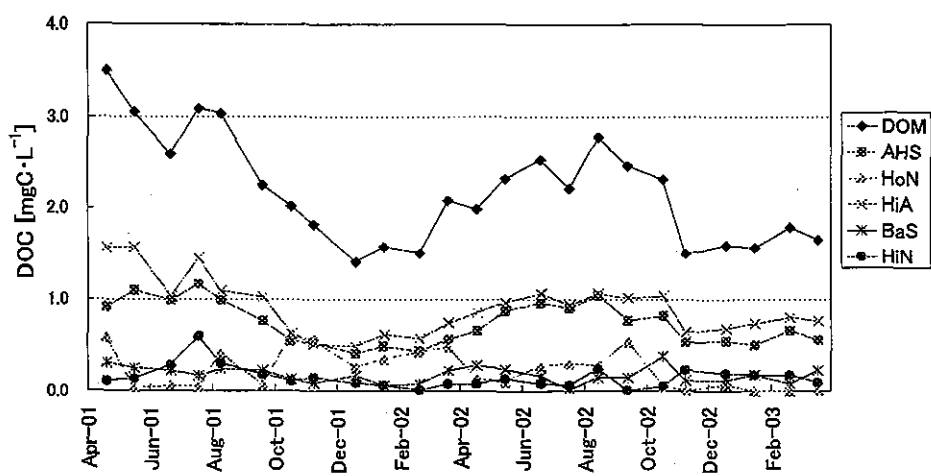


図 7(b) 霞ヶ浦流入河川における DOM および各画分の動態（花室川と小野川）。AHS：フミン物質，HoN：疎水性中性物質，HiA：親水性酸，BaS：塩基物質，HiN：親水性中性物質。

表2 湖水および流入河川水における DOM, フミン物質(AHS), 親水性酸(HiA)の分解率。

		Percentage of degradation [%]		
		DOM	AHS	HiA
湖水	St.1	17.9 (11.2*)	12.0 (8.8)	19.3 (14.9)
	St.3	12.1 (6.1)	7.0 (5.4)	14.6 (10.2)
	St.7	13.9 (8.2)	10.3 (9.2)	12.5 (8.3)
	St.9	7.6 (6.0)	5.7 (4.3)	10.5 (8.3)
	St.12	6.5 (6.2)	5.3 (4.2)	9.8 (7.0)
河川水	恋瀬川	28.7 (13.7)	16.5 (10.4)	25.1 (17.6)
	桜川	30.4 (7.3)	13.6 (6.8)	26.1 (13.2)
	花室川	35.0 (12.8)	22.1 (7.1)	32.3 (16.2)
	小野川	29.9 (12.2)	15.8 (8.0)	24.9 (15.7)

*standard deviation.

サンプル数: 湖水(24, 2000.1~2002.12), 河川水(12, 2001.4~2002.3).

湖水と河川水とともに、難分解性 DOM として、DOM の場合と同様に有機酸画分 (フミン物質 + 親水性酸) が卓越していた (図 8)。湖水 (湖心) では生分解後にフミン物質が微増し、親水性酸と塩基物質が微減した。一方、河川水ではフミン物質の存在比が著しく増大し (31.3%→37.7%), その他の画分の存在比は少し減少した。結果として、河川水の場合、生分解を経てフミン物質の存在比は親水性酸のそれに匹敵する値となった。従って、湖水で親水性酸、河川水ではフミン物質と親水性酸が代表的な難分解性 DOM であると言える。

[湖水・河川水での難分解性 DOM の動態]

霞ヶ浦 5 地点における 2001 年~2002 年の DOM, フミン物質, 親水性酸および難

分解性 DOM, フミン物質, 親水性酸の動態を図 9 に示す。全ての採水地点において、難分解性 DOM, 難分解性フミン物質, 難分解性親水性酸の濃度は夏季から秋季にかけて増大する傾向を示した。難分解性親水性酸や難分解性フミン物質の濃度季節変化は、河川水が流入する採水地点に近いほど、すわなわ St.1 や St.7 でその変動幅が大きかった。湖心(St.9)や湖尻(St.12)では変動幅が小さくなり季節変動は滑らかとなつた。

DOM の分解率 ($[DOM - \text{難分解性 DOM}] / [DOM]$) は 3 月~5 月, 9 月~12 月に高くなる傾向を示した。また、河川水流入ポイントに近い採水地点で分解率が高かつた。

親水性酸の分解率トレンドと DOM の分解率トレンドは比較的対応していた。フミン物質は概ね年間を通じて分解率が低く、そ

の分解率トレンドは DOM や親水性酸のそれにはあまり対応していなかった。河川水が流入するポイントに近い採水地点である St.1 と St.7 で、2000 年の夏季から秋季にかけてフミン物質の分解率が非常に高くなつた。これは特異的なケースで、大雨によ

る河川流出の影響と考えられる。難分解性親水性酸の濃度およびその変動幅はフミン物質よりも顕著に大きい。従つて、湖水における難分解性 DOM の挙動は、フミン物質よりも、親水性酸によって規定されていると示唆される。

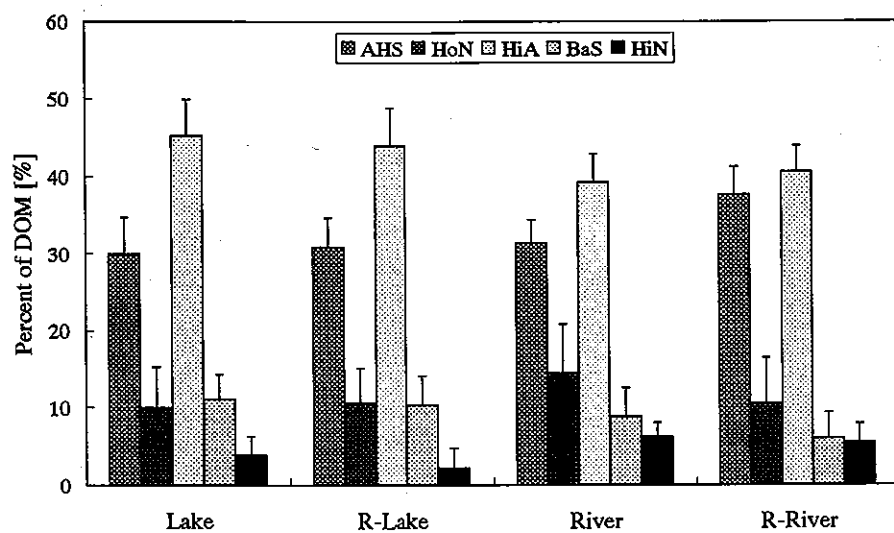


図 8 震ヶ浦湖水（湖心）と流入 4 河川水中の難分解性 DOM の分画分布。
湖水は 2001 年～2002 年、河川水は 2001 年 4 月～2002 年 3 月にサンプル採取。AHS：フミン物質、HoN：疎水性中性物質、HiA：親水性酸、BaS：塩基物質、HiN：親水性中性物質。